

# 1 Ein neuer Algorithmus zur Zeitsynchronisierung von Ereignis- 2 basierten Zeitreihendaten als Alternative zur Kreuzkorrelation

3 Christoph Schranz<sup>1</sup> & Sebastian Mayr<sup>1</sup>

4 <sup>1</sup>Salzburg Research Forschungsgesellschaft m.b.H., Salzburg, Österreich

## 5 **Kurzfassung**

6 Mit der Verwendung von Sensordaten aus mehreren Quellen entsteht oft die Notwendigkeit  
7 einer Synchronisierung der entstandenen Messreihen. Ein Standardverfahren dazu ist die  
8 Kreuzkorrelation, die jedoch übereinstimmende Zeitstempel voraussetzt und empfindlich  
9 gegenüber Ausreißern reagiert. In diesem Paper wird daher ein alternativer Algorithmus für  
10 die Synchronisierung von Ereignis-basierten Zeitreihendaten vorgestellt.

11 Schlüsselwörter: Ereignis-basierte Zeitreihendaten, Synchronisierung, Kreuzkorrelation

## 12 **Einleitung**

13 In vielen praktischen Anwendungen, wie zum Beispiel beim Vergleich eines neuartigen  
14 Sensors mit der etablierten Messmethode, liegen zwei oder mehrere Messungen derselben  
15 oder einer korrelierenden Metrik mit versetztem Zeitstempel vor. Ursachen für einen solchen  
16 Zeitversatz können unter anderem Synchronisierungsprobleme der unterschiedlichen  
17 Geräte sein. In diesem Fall muss der Zeitunterschied zwischen den Messungen ermittelt  
18 und die Zeitstempel der als nicht synchron angenommenen Messung korrigiert werden.

19 Das Standardverfahren zur Synchronisierung von Ereignis-basierten Zeitreihen ist es, die  
20 jeweiligen Datenpunkte auf eine konstante Abtastrate zu interpolieren um anschließend die  
21 Kreuzkorrelation für einzelne Zeitversätze zwischen den Messungen zu berechnen. Eine  
22 Verringerung der Laufzeit kann dabei durch die Verwendung der Fourier-Transformation  
23 (FFT) erreicht werden (Lyon, 2010). Dieses Standardverfahren besitzt jedoch mehrere  
24 Nachteile: Falls die inhärente Frequenz der Signaländerung geringer ist als jene der  
25 auftretenden Ereignisse, sinkt die Präzision des ermittelten Zeitversatzes. Zusätzlich zeigt  
26 sich auch eine geringe Robustheit der Ergebnisse bei kurzen Zeitreihen sowie bei fehlenden  
27 oder falschen Werten, wodurch oft eine aufwändige Korrektur erforderlich ist. (Pearson, 2005)

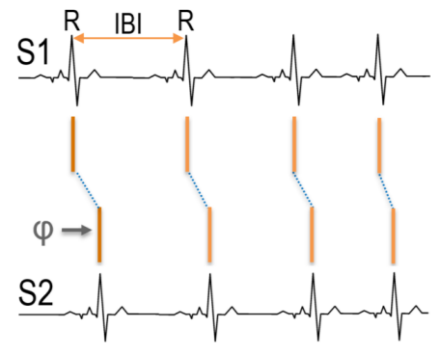
28 In dieser Arbeit wird ein neues Verfahren für die Synchronisierung Ereignis-basierter  
29 Zeitreihendaten vorgestellt. Der Fokus bei der Entwicklung dieses Verfahrens war eine hohe  
30 Präzision des resultierenden Zeitversatzes und Robustheit.

## 31 **Methode**

32 Die hier vorgestellte Methode zur Synchronisierung Ereignis-basierter Zeitreihendaten  
33 basiert auf einem Reißverschlussprinzip, angelehnt an den effizienten Stream-Stream-Join  
34 Algorithmus von Schranz 2020. Grundsätzlich wird für jedes Ereignis der Abstand zum  
35 jeweils Nächsten der anderen Zeitreihe berechnet. Der Mittelwert aller dieser Abstände dient  
36 als Maß für die Synchronität der Zeitreihen für einen gegebenen Zeitversatz  $\phi$ . Aufgrund

37 des iterativen Vergleichs der Zeitstempel zum jeweils nächsten Gegenüber wird der  
 38 Algorithmus im Rahmen dieser Arbeit als *nearest\_advocate* bezeichnet.

```
def nearest_advocate(arr_1, arr_2, time_delta=0.0, max_distance=0.5):
    arr_2 = arr_2 - time_delta # apply time shift
    cum_distance = 0.0; counter = 0 # initialize cumulative values
    i1, i2 = forward_until_first_intersection(arr_1, arr_2) # skip indices
    for ts_2 in arr_2[i2:]: # iterate over all timestamps in arr2
        while arr_1[i1+1] <= ts_2: # forward i1 until arr_1[i1+1] > ts_2
            i1 += 1
            if i1 + 1 > len(arr_1): # array 1 is finished, return
                return cum_distance / counter
            if arr_1[i1] <= ts_2:
                # here the invariance arr_1[i1] <= ts_2 < arr_1[i1+1] holds
                cum_distance += min(ts_2-arr_1[i1], arr_1[i1+1]-ts_2,
                                   max_distance)
                counter += 1
    return cum_distance / counter
```



39

(a)

(b)

40 Abb. 1 (a) Pseudocode des *nearest\_advocate*; (b) Zwei idente um  $\phi$  versetzte EKG (schwarz) mit deren  
 41 charakteristischen Schläge (R-peaks, orange) und den minimalen Abständen (blau strichliert).

42 In Abbildung 1.a wird der Pseudocode dargestellt: Gegeben zwei sortierte Reihen aus  
 43 Zeitstempeln der Ereignisse mit überlappenden Zeitabschnitten, berechnet  
 44 *nearest\_advocate* den mittleren Abstand von jedem Zeitstempel in Reihe 2 zu dem jeweils  
 45 nächsten Gegenüber in Reihe 1 (siehe Abb. 1.b). Der Parameter ‚*time\_delta*‘ gibt dabei den  
 46 zu evaluierenden Zeitversatz an und ‚*max\_distance*‘ den maximal akzeptierten Abstand  
 47 zwischen zwei gegenüberliegenden Ereignissen.

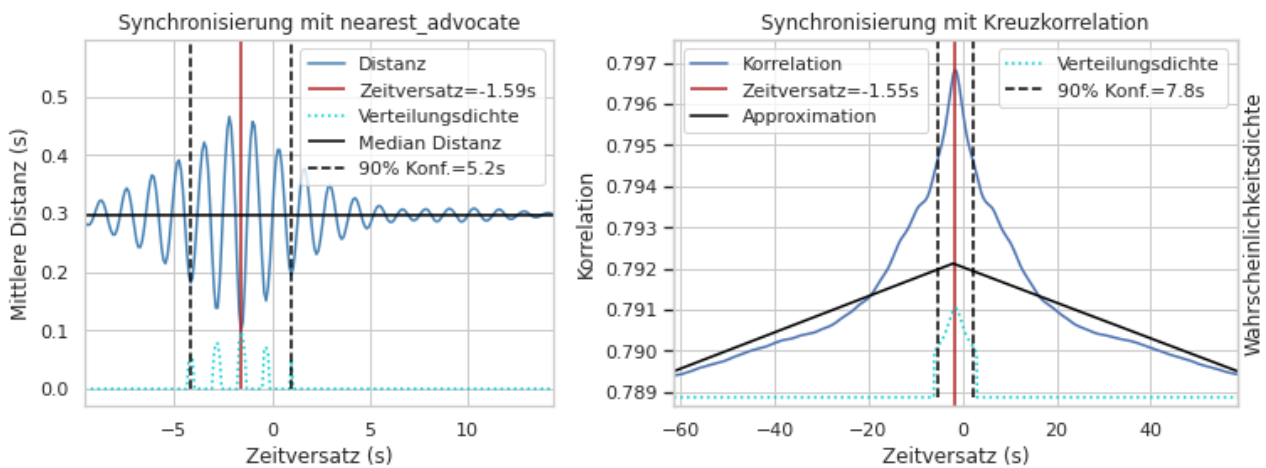
48 Der Algorithmus besitzt eine lineare Laufzeit- und Speicherkomplexität für einen zu  
 49 prüfenden Zeitversatz. Insgesamt beträgt die Laufzeitkomplexität somit  $|time\_delta| \cdot$   
 50  $(|arr_1| + |arr_2|)$ . Für die Wahl der zu testenden Zeitversätze ist zu beachten, dass für die  
 51 Erkennung der Form und somit des Optimums der Ergebniskurve etwa die 10- bis 20-fache  
 52 Rate der erwarteten Nyquist- oder Signalfrequenz empfohlen wird (Wescott, 2018).

### 53 Experiment

54 Für das Experiment wurden EKG-Daten (siehe Abb. 1 b) verwendet, die innerhalb des  
 55 Projektes Virtual Sleep Lab während des Schlafs erhoben wurden (siehe Finanzierung). Die  
 56 Zeitreihe 1 wurde mit dem laborüblichen Polysomnographen Brainvision BrainAmp ExG  
 57 aufgenommen, die Zeitreihe 2 mit dem Suunto Movesense Sensor HR+. Beide Reihen  
 58 liegen in Form von Arrays vor, wobei die Elemente die Zeitstempel der charakteristischen  
 59 R-peaks der jeweiligen Herzschläge sind. Die Messdauer betrug etwa 30,000 Sekunden.

60 Folgende Algorithmen wurden im Experiment verglichen: (1) Eine Kreuzkorrelation mit FFT  
 61 auf linear interpolierte Abstände der R-peaks (*interbeat intervals, IBI*). Zusätzlich (2) eine  
 62 Kreuzkorrelation mit FFT auf, mittels Dreiecken der Breite 0.5s, interpolierten R-peaks, um  
 63 die Präzision der Zeitversätze zu verbessern. Der hier vorgestellte Algorithmus  
 64 *nearest\_advocate* wird mit einer Maximaldistanz von 0.5s (3) auf alle R-peaks angewandt  
 65 sowie (4) dünn besetzt (*sparse*) mit nur jedem 100sten R-peak der Zeitreihe 2. Der  
 66 Suchraum für den Zeitversatz beträgt  $\pm 60$  Sekunden bei einer Auflösung von 0.1 s.

67 In Abbildung 2 werden typische Ergebnisse für die Synchronisation dargestellt: In (a) das  
 68 charakteristische Schwingen der jeweiligen Distanz (blau) um das Optimum (rot), das in den  
 69 Algorithmen (2), (3) und (4) auftritt. In (b) das markante Maximum (blau) über einer  
 70 dreieckigen Approximation für die Kreuzkorrelation (1). Aus dem Median der mittleren  
 71 Distanzen (a) bzw. der Annäherung der Korrelationskoeffizienten mit einer Dreiecksform  
 72 über zwei lineare Theil-Sen Regressoren (b) wird die Grundlinie (schwarz) bestimmt. Um  
 73 das Hintergrundrauschen zu filtern, werden nur jene Kurvenanteile extrahiert, welche  
 74 signifikanter als 50% des Optimums sind. Dieser Anteil wird auf eine Wahrscheinlich-  
 75 keitsverteilung (türkis punktiert) normiert. Das Maß für die Präzision ist die Breite des 90%-  
 76 Konfidenzintervalls dieser Wahrscheinlichkeitsverteilung (schwarz strichliert).



77

(a)

(b)

78 Abb. 2 (a) Bei der Synchronisierung mit *nearest\_advocate* treten um den Versatz  $\varphi$  (in rot) charakteristische  
 79 Schwingungen auf; (b) Bei der Kreuzkorrelation eine markante Spitze um  $\varphi$ .

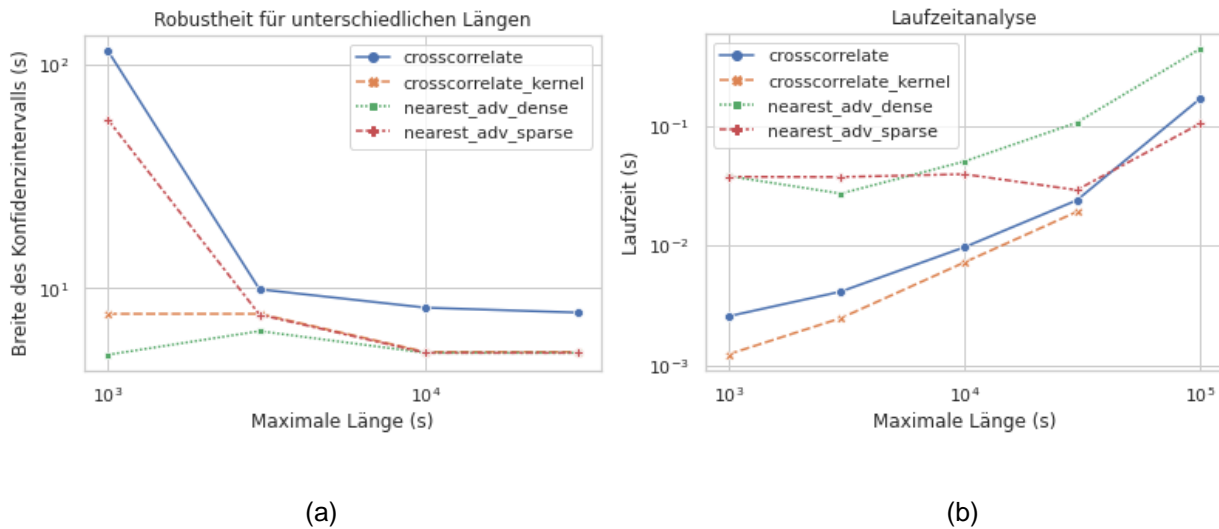
80 Die Experimente wurden in Python 3.9 durchgeführt. Für die Kreuzkorrelation wurde die  
 81 Methode `signal.correlate` des Pakets `scipy` mit Version 1.7.3 verwendet. Um für  
 82 *nearest\_advocate* ebenfalls vergleichbare Laufzeiten wie in C zu erzielen, wurde dieser in  
 83 der JIT-Kompilierungsumgebung `numba` 0.55.0 implementiert. (Lam, 2015)

## 84 Ergebnisse

85 In Abbildung 3 werden für die Synchronisierungen der jeweiligen Algorithmen (a) die  
 86 Präzision als Breite der 90%-Konfidenzintervalle der Wahrscheinlichkeitsdichten und (b)  
 87 Laufzeiten für unterschiedliche maximale Längen der Zeitreihen dargestellt. Für den Fall mit  
 88 maximaler Länge von 100,000s wurde die Zeitreihe synthetisch vervielfacht.

89 Die Streubreiten nehmen mit steigender Länge tendenziell ab und die Laufzeiten zu. Der  
 90 Algorithmus *nearest\_advocate* lieferte die präzisesten und robustesten Ergebnisse. Die  
 91 schnellere *sparse*-Variante liefert für längere Zeitreihen ebenfalls präzise Ergebnisse und  
 92 besitzt sogar die günstigste asymptotische Laufzeitkomplexität, womit diese für die Länge  
 93 von 100,000s sogar schneller als die Kreuzkorrelation mit FFT (mit Laufzeitkomplexität von  
 94  $n \cdot \log(n)$  (Lewis, 1995)) ist. Die Kreuzkorrelation mit Kernelapproximation liefert ebenfalls

95 sehr präzise Lösungen, allerdings wird die rechenintensive Interpolation nicht für die hier als  
96 sehr niedrig erscheinende Laufzeit berücksichtigt.



97

98 Abb. 3 (a) Breite der 90%-Konfidenzintervalle der Wahrscheinlichkeitsdichten und (b) die Laufzeiten der  
99 Algorithmen für unterschiedliche maximale Längen der Zeitreihen.

## 100 Diskussion

101 In diesem Paper wurde exemplarisch für R-peaks als Ereignis-basierte Zeitreihen gezeigt,  
102 dass das hier vorgestellte Synchronisierungsverfahren *nearest\_advocate* für alle getesteten  
103 Längen eine höhere Präzision als das Standardverfahren Kreuzkorrelation liefert. Für kurze  
104 Zeitreihen demonstriert dieser eine sehr hohe Robustheit. Die *sparse*-Variante verspricht  
105 trotz geringerer Präzision für kurze Reihen, eine asymptotisch sehr gute Laufzeit.

106 In zukünftigen Analysen soll die Robustheit insbesondere gegenüber fehlender und falscher  
107 Ereigniswerte genauer untersucht werden. Außerdem wäre es sinnvoll, zusätzliche  
108 Algorithmen wie z.B. die Kreuzkorrelation mit beschränktem Suchraum zu betrachten.

109 **Interessenskonflikt** Ich bzw. wir erklären keine Interessenskonflikte.

110 **Finanzierung** Wir bedanken uns für die finanzielle Unterstützung durch das Land Salzburg innerhalb  
111 des WISS 2025 Projekt Virtual Sleep Lab (VSL-Lab) (20102-F2002176-FÜR).

## 112 Literatur

- 113 Pearson, R. (2005). Mining Imperfect Data. In *SIAM*, 250, <https://doi.org/10.1137/1.9780898717884>.
- 114 Lewis, J. P. (1995). "Fast Normalized Cross-Correlation." In *Industrial Light & Magic*,  
115 <http://scribblethink.org/Work/nvisionInterface/nip.pdf>.
- 116 Lyon, D. (2010). The Discrete Fourier Transform, Part 6: Cross-Correlation. In *The Journal of Object*  
117 *Technology*, 9(2), 17. <https://doi.org/10.5381/jot.2010.9.2.c2>
- 118 Wescott, Tim. (2018). Sampling: What Nyquist Didn't Say, and What to Do About It. In *Wescott*  
119 *Design Services*, <https://www.wescottdesign.com/articles/Sampling/sampling.pdf>.
- 120 Lam, S. K. (2015). Numba: A llvm-based python jit compiler. In *Proceedings of the Second Workshop*  
121 *on the LLVM Compiler Infrastructure in HPC*, (pp. 1–6).
- 122 Schranz, C. (2020). Deterministic Time-Series Joins for Asynchronous High-Throughput Data  
123 Streams, In *ETFA*, pp. 1031-1034, <https://doi.org/10.1109/ETFA46521.2020.9211958>.